

СНИЖЕНИЕ ПОРОГОВОЙ ПЛОТНОСТИ ТОКА

В $GaAs-AlGaAs$ ДГС РО КВАНТОВОРАЗМЕРНЫХ ЛАЗЕРАХ
 $(J_p = 52 \text{ A} \cdot \text{см}^{-2}, T = 300 \text{ K})$

ПРИ ОГРАНИЧЕНИИ КВАНТОВОЙ ЯМЫ КОРОТКОПЕРИОДНОЙ
 СВЕРХРЕШЕТКОЙ С ПЕРЕМЕННЫМ ШАГОМ

Ж.И. Алферов, А.М. Васильев,
 С.В. Иванов, П.С. Копьев,
 Н.Н. Леденцов, М.Э. Луценко,
 Б.Я. Мельцер, В.М. Устинов

Получение методом молекулярно-пучковой эпитаксии (МПЭ) низкопороговых $GaAs-AlGaAs$ ДГС РО лазеров с квантовой ямой и плавным изменением состава по толщине в области оптического ограничения (ДГС РО ПС КЯ) [1] резко стимулировало прогресс в области полупроводниковой лазерной техники и обусловило, в частности, появление лазеров с низкими абсолютными пороговыми токами $\sim 0.5 \text{ mA}$ [2] и высокомощных ($\sim 8 \text{ Вт}$) полупроводниковых лазеров [3]. Кардинальное снижение пороговой плотности тока ($90 \text{ A} \cdot \text{см}^{-2}$) осуществлено и для $InGaAs$ лазеров, полученных жидкофазной эпитаксией [4].

Наименьшие значения пороговой плотности тока J_p для $AlGaAs$ ДГС РО ПС КЯ лазеров ($80 \text{ A} \cdot \text{см}^{-2}$), насколько нам известно, получено в работе [5]. По мнению авторов, снижение J_p было связано с использованием для роста подложек $GaAs$ с поверхностью (100), разориентированной на $2\text{--}4^\circ$ в направлении (111)А. Как было показано [6], использование подобной ориентации подложки позволяет выращивать слои $Al_xGa_{1-x}As$ с хорошей однородностью состава и морфологией поверхности даже в так называемом „запрещенном“ диапазоне температур роста ($640\text{--}680^\circ\text{C}$), который имеет место в случае ориентации (100) [7]. Так как температуры роста в работе [5] были выбраны равными $680\text{--}700^\circ\text{C}$, т.е. были близки к запрещенному диапазону, то влияние разориентации оказалось, по-видимому, существенным. Для улучшения планарности гетерограниц и гетерирования примесей авторами [5] также выращивались несколько узких $GaAs$ квантовых ям в области оптического ограничения.

В отличие от авторов [5], мы обнаружили, что низкопороговые ДГС РО ПС КЯ лазеры могут быть выращены и на неразориентированных $GaAs$ (100) подложках. Схематическое изображение зонных диаграмм 2-х типов исследованных ДГС РО ПС КЯ структур представлено на рис. 1.

Две структуры первого типа отличались от структур, исследованных в [5], большим процентным содержанием $AlAs$ в эмиттерах

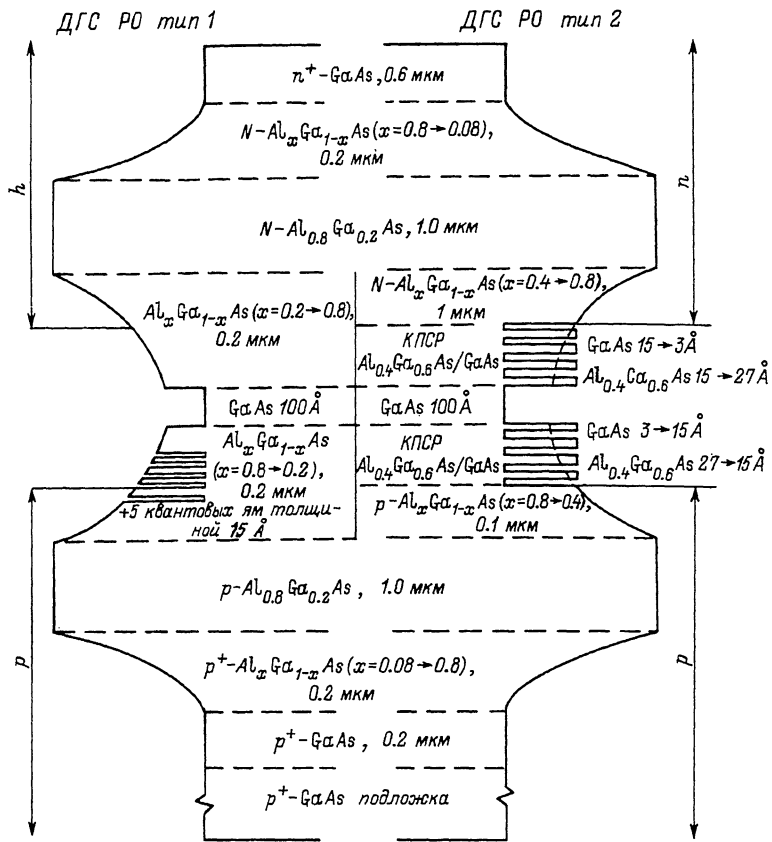


Рис. 1.

($x = 0.8$) [8]. В структуре второго типа в области оптического ограничения, как и в нашей работе [9], использовалась короткопериодная сверхрешетка (КПСР), но, в отличие от [9], шаг решетки был переменный, что вело к уменьшению эффективной ширины запрещенной зоны в сторону квантовой ямы.

Структуры выращивались методом молекулярно-пучковой эпитаксии, причем эмиттеры, буферные и контактные слои выращивались при $T_7 = 630$ °C. Это позволило получить хорошую морфологию поверхности слоев $\text{Al}_x\text{Ga}_{1-x}\text{As}$ без использования высоких температур роста и разориентированных подложек. Перед ростом активной области температура подложки поднималась до 700 °C (с остановкой роста, в потоке мышьяка). Как указывается в [10], оста-

новки роста в нормальных условиях не приводят к увеличению концентрации основных фоновых примесей в эпитаксиальных слоях (С, О, Mn). Об использовании подобного "двуухсту- пенчатого" процесса выращивания лазеров сообщается также в работе [11].

Высокая температура подложки при выращивании активной области позволяет получить высокую эффективность излучательной рекомбинации. На рис. 2, а представлен спектр фотолюминесценции (ФЛ), типичный для структур как первого, так и второго типа, при стравленном контактном слое. Положение максимума полосы экситона $e_1 - hh_1$, соответствует расчетному для ширины квантовой ямы (100 Å). Уже при малом уровне возбуждения ($\sim 5 \text{ Вт см}^{-2}$) внутренний квантовый выход ФЛ из специально нелегированной активной области ($N_D + N_A = 1 \times 10^{15} \text{ см}^{-3}$) для структуры второго типа был близок к 100% и практически не зависел от температуры в диапазоне 77–300 К. Структуры первого типа обладали несколько худшими ФЛ свойствами, т.е. введение КПСР уменьшает концентрацию центров безызлучательной рекомбинации.

Спектр электролюминесценции (ЭЛ) структур при малых плотностях возбуждения ($\sim 1 \text{ А} \cdot \text{см}^{-2}$) уширен по сравнению со спектром ФЛ, однако энергии максимумов пиков ФЛ и ЭЛ совпадают. Как показано в работе [9], в отличие от ДГС лазеров с нелегированной активной областью, в ДГС РО лазерах с квантовой ямой максимум ЭЛ не смещается с увеличением плотности возбуждения. Плотность порогового тока определялась для четырех сколотых образцов по появлению мод генерации. Энергия максимума генерации (см. рис. 2, б) с точностью до 5–8 мэВ соответствовала положению максимума ЭЛ, обусловленного переходами через уровни размерного квантования.

Минимальные пороговые плотности токов составили: для двух структур первого типа – 120 А см^{-2} и 105 А см^{-2} , а для структуры второго типа 52 А см^{-2} . Первые исследования пиленных лазеров с резонаторами Фабри-Перо (150 мкм × 900 мкм) показали,

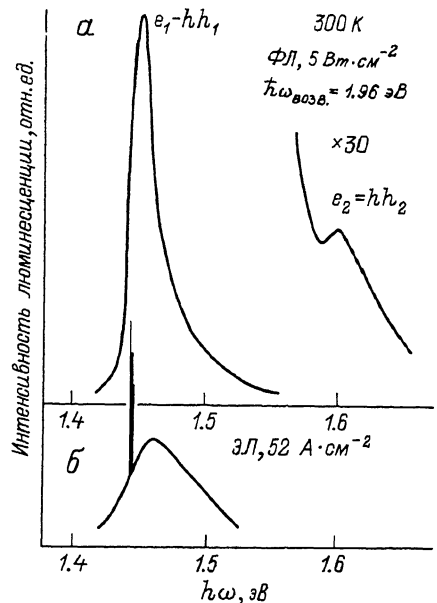


Рис. 2.

что пороговые плотности тока увеличиваются примерно в полтора раза. Результаты этих исследований будут изложены в отдельной публикации.

Величина пороговой плотности тока $J_{th} = 52 \text{ A cm}^{-2}$, насколько нам известно, является наименьшей из опубликованных к настоящему времени, что указывает на большую перспективность как использования короткопериодных СР в ДГС РО ПС КЯ лазерах, так и применение двухстадийного процесса МПЭ.

Л и т е р а т у р а

- [1] Tsang W.T. - Appl. Phys. Lett., 1982, v. 40, N 4, p. 217-219.
- [2] Lau K.Y., Derry P.L., Yariv A. - Appl. Phys. Lett., 1988, v. 52, N 2, p. 88.
- [3] Welch D.F., Chan B., Streifer W., Scifres P.R. - Electron. Lett., 1988, v. 24, N 2, p. 113-115.
- [4] Алферов Ж.И., Антонишикис Н.Ю., Арсентьев И.Н., Гарбузов Д.З., Тикунов А.В., Халфин В.Б. - ФТП, 1987, т. 21, в. 8, с. 1501-1503.
- [5] Chen H.Z., Chaffari A., Morkoc H., Yariv A. - Appl. Phys. Lett., 1987, v. 51, N 25, p. 2094-2096.
- [6] Tsui R.K., Curless J.A., Kramer G.D., Peffley M.S. - J. Appl. Phys., 1985, v. 58, N 7, p. 2570-2572.
- [7] Alexandre F., Goldstein L., Leroux G., Jouncour H.C., Thibierge H., Rao E.V.K. - J. Vac. Sci. Techn. B, 1985, v. 3, N 4, p. 421-427.
- [8] Hayakawa T., Suyama T., Takahashi K., Kondo M., Yamamoto S., Hijikata T. - Appl. Phys. Lett., 1988, v. 52, N 5, p. 339-341.
- [9] Алферов Ж.И., Джапаридзе Р.О., Иванов С.В., Копьев П.С., Леденцов Н.Н., Мельцер Б.Я., Устинов В.М. - Письма в ЖТФ, т. 12, в. 9, с. 562-565.
- [10] Леденцов Н.Н., Бер Б.Я., Иванов С.В., Копьев П.С., Мельцер Б.Я., Минчев Г.М., Устинов В.М. - ЖТФ, 1985, т. 55, в. 1, с. 142-147.
- [11] Pion M., Specht A., Appelman H., Ebersohn R., Begley P., Waters R., Guido T., Sta-

Физико-технический
институт им. А.Ф. Иоффе
АН СССР, Ленинград

Поступило в Редакцию
4 августа 1988 г.

Письма в ЖТФ, том 14, вып. 19

12 октября 1988 г.

БАРЬЕРЫ ШТТКИ И ПОЛЕВЫЕ ТРАНЗИСТОРЫ НА ОСНОВЕ $InGaAs/InP$

Ж.И. Алферов, В.И. Босый,
А.Т. Гореленок, А.В. Иващук,
Н.Д. Ильинская, М.Н. Мизеров,
И.А. Мокина, Д.Н. Рехвиашвили,
Н.М. Шмидт

Интерес к полевым транзисторам (ПТ) на основе InP и изо-
периодических твердых растворов $InGaAsP$ обусловлен более вы-
сокими значениями подвижности и дрейфовой скорости электронов в
этих материалах, чем в $GaAs$ [1, 2], а также низкой скоростью
поверхностной рекомбинации и более высокой теплопроводностью.
Перечисленные достоинства этих материалов не реализованы в пол-
ной мере, а разработанные ПТ на их основе по основным характе-
ристикам уступают ПТ на основе $GaAs$ [3] из-за малой высоты
барьера (φ_B) Шоттки затвора и больших значений токов утечки.

В одной из последних работ [4] с тунNELьнопрозрачным собст-
венным окислом толщиной 20 Å получены следующие параметры
барьеров Шоттки: $\varphi_B = 0.76$ эВ для $Au-InP$ и $\varphi_B = 0.65$ эВ
для $Au-InGaAs$ с $n \sim 10^{16}$ см⁻³. Коэффициент идеальности η со-
ставлял 1.1 для $InGaAs$ и 1.48 для InP , а токи утечки при
обратном смещении 1 В имели значения $2 \cdot 10^{-7}$ и $1 \cdot 10^{-7}$ А со-
ответственно. ПТ с таким барьером Шоттки на основе $n-InGaAs$ с
 $n \sim 10^{17}$ см⁻³ и подвижностью 7000 см²/В·с при 300 К имели
 крутизну 100 мСм/мм при затворе 140×1 мкм².

В данной работе приведены результаты исследования барьеров
Шоттки на основе $n-InGaAs$ и $n-InP$ и рассмотрены ПТ с затво-
ром Шоттки (ПТШ) на основе $n-InGaAs$.

Для улучшения параметров барьера Шоттки нами была использо-
вана многослойная металлизация $YB-Ni-Au$ [5]. Барьеры создава-
ли термическим напылением металлов в вакууме $\sim 10^{-6}$ мм рт. ст.
на подложках $n-InP$ (100)-ориентации в окнах маски SiO_2 и
на эпитаксиальных слоях $n-InGaAs$, полученных жидкофазной эпитак-
сией [6] с $n \sim 10^{16}$ см⁻³ в окнах маски полимида. Омические кон-
такты создавались термическим напылением в вакууме эвтектическо-